

# یک مبدل ایزوله افزاینده DC/DC جدید با کلید زنی در ولتاژ صفر

احسان موحدی<sup>(۱)</sup> – مجید دلشداد<sup>(۲)</sup> – احسان ادیب<sup>(۳)</sup>

(۱) دانشجوی کارشناسی ارشد – دانشکده مهندسی برق، دانشگاه آزاد اسلامی، واحد اصفهان (خوارسگان)

(۲) استادیار – دانشکده مهندسی برق، دانشگاه آزاد اسلامی، واحد خوارسگان

(۳) استادیار – دانشکده مهندسی برق، دانشگاه صنعتی اصفهان

تاریخ پذیرش: ۱۳۹۳/۹/۲۶

تاریخ دریافت: ۱۳۹۳/۳/۲۳

خلاصه: در این مقاله یک مبدل افزاینده سوئیچینگ، فلاپی بک جدید ارائه گردیده است. در ابتدا مبدل به صورت سخت کلید زنی می‌شود که در این حالت به صورت کامل تحلیل شده است. سپس مدار کمکی جهت نرم کردن کلید زنی کلید اصلی آن به مبدل اضافه شده است که مدار کمکی در این مبدل نه تنها شرایط سوئیچینگ نرم را برای کلید اصلی مبدل فراهم می‌سازد بلکه از جهش‌های ولتاژ دو سر کلید اصلی در هنگام خاموش شدن در اثر سلف نشستی ترانسفورمر نیز جلوگیری می‌نماید. لذا راندمان مبدل پیشنهادی جدید در مقایسه با مبدل‌های پیشین افزایش یافته و استرس روی کلید اصلی نیز کاهش یافته است. همچنین کلید کمکی این مبدل به صورت نرم کلید زنی می‌گردد و در نتیجه باعث تحمیل تلفات قابل توجهی به مبدل نمی‌شود. کنترل مبدل به صورت PWM می‌باشد. این مبدل نسبت به مبدل‌های مشابه دارای راندمان بالاتر و هزینه ساخت پایین‌تری می‌باشد.

**کلمات کلیدی:** مبدل سپیک – فلاپی بک، کنترل PWM، کلید زنی در ولتاژ صفر ZVS

## New DC/DC High Step Up Isolated Converter with ZVS

Ehsan Movahedi<sup>(۱)</sup> – Majid Delshad<sup>(۲)</sup> – Ehsan Adib<sup>(۳)</sup>

(1) MSc - Department of Electrical Engineering, Khorasan Branch, Islamic Azad University  
eh.electronic@gmail.com

(2) Assistant Professor - Department of Electrical Engineering, Khorasan Branch, Islamic Azad University  
delshad.majid@gmail.com

(3) Assistant Professor - Department of Electrical Engineering, Isfahan University of Technology  
adib.ehsan@gmail.com

In this paper we presents a soft switch sepic, flyback converter. At first the converter have hard switching in main switch and completely analysis then added auxiliary circuit for soft switching. Auxiliary circuit in the converter is not only soft switching condition for the main switch but also prevents the spike voltage across the main switch when turned off that because leakage inductance. Therefore, the proposed converter efficiency in comparison with the previous converters increased and voltage stress on the main switch is reduced. Also the auxiliary switch in the converter have soft switching and thereby decrease losses. this converter Control with pwm. These converter have higher efficiency than the similar converters and the cost is low. Auxiliary circuit in the converter is not only soft switching condition for the main switch but also prevents the spike voltage across the main switch when turned off that because leakage inductance. Therefore, the proposed converter efficiency in comparison with the previous converters increased and voltage stress on the main switch is reduced.

**Index Terms:** Sepic converter, flyback, PWM control-ZVS.

در این مبدل قسمت سپیک از یک کلید S، ترانسفورمر یک با سلف مغناطیسی کنندگی L<sub>m1</sub> و خازن میانی C<sub>2</sub> و ترانسفورمر دو با سلف مغناطیسی کنندگی L<sub>m2</sub> و دیود D<sub>3</sub> و خازن C<sub>5</sub> تشکیل گردیده است. نسبت دور اولیه به ثانویه ترانسفورمر اولیه n<sub>1</sub>:n<sub>2</sub> و همچنین نسبت دور اولیه به ثانویه ترانسفورمر دوم n<sub>3</sub>:n<sub>4</sub> می باشد. مبدل فلاوری بک این تبدیل کننده نیز از کلید مشترک با مبدل سپیک S و دیود D<sub>2</sub> و خازن C<sub>4</sub> تشکیل شده است.

لازم به ذکر است که در مبدل فوق از مدار چند برابر کننده ولتاژ که مستنشکل از دیود D<sub>1</sub> و خازن C<sub>3</sub> است نیز استفاده شده است.

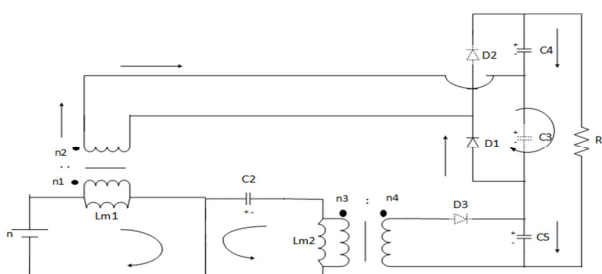
وروحدی این مبدل به سلول خورشیدی متصل خواهد شد.

#### ۱-۲- عملکرد میدل پیشنهادی یا سوئیچینگ سخت

این مبدل دارای دو مدل کردنی به شرح زیر می‌باشد. لازم به ذکر است که کلید اصلی در فرکانس بالا، ۵۰ کیلوهرتز کلید زنی می‌شود. در زیر به تشریح عملکرد این مبدل و در ادامه به تحلیل آن پرداخته می‌شود.

**١-١-٢- وضعیت اول ( $t_0 < t < t_1$ )**

این وضعیت با روشن شدن کلید آغاز می‌گردد و جریان سلف مغناطیسی کنندگی Lm1 توسط ولتاژ ورودی افزایش می‌یابد (شارژ می‌شود). در طرف ثانویه این ترانس به دلیل پلاریته معکوس دیوD2 می‌شود. در بایاس معکوس قرار می‌گیرد و D1 در بایاس مستقیم و خازن C3 در بایاس معکوس قرار می‌گیرد و D1 در بایاس مستقیم و خازن C3 می‌شود. از طرفی ولتاژ خازن C2 رو به کاهش است و جریان شارژ می‌شود. سلف مغناطیسی کنندگی Lm2 رو به افزایش (چون انرژی خازن C2 اصرف شارژ شدن سلف مذکور می‌گردد). بدین ترتیب دیوD3 در بایاس معکوس قرار می‌گیرد و جریان بار توسط خازنهای C4 و C5 تأمین می‌شود.



شکل (۲): مبدل پیشنهادی با سوئیچینگ سخت، سوییج روشن

( $t_1 < t < t_2$ ) - ٢-١-٢ وضعیت دوم

در این وضعیت کلید S خاموش می‌شود و جریان سلف مغناطیسی کنندگی Lm1 به طور خطی در حال کاهش است (جریان بار را تامین می‌کند) و جریان خازن C2 رو به افزایش (در حال شارژ شدن توسط ولتاژ، ۵ و ۰۵، مم پاشد) بدین ترتیب قسمتی از جریان سلف Lm2 از

مقدمة - ١

امروزه مبدل‌های  $dc/dc$  کاربرد وسیعی در صنایعی نظیر سلول‌های خورشیدی، پیل‌های سوختی، خودروهای هیبرید و غیره یافته‌اند. در ساختهای فتوولتاییک به علت محدودیت‌هایی از قبیل افزایش پانل‌های خورشیدی به صورت سری (به علت افزایش اثرات سایه‌ای و خازنی پانل‌ها) ولتاژ خروجی پانل‌های فتوولتاییک از حد مشخصی نمی‌تواند تجاوز کند. برای غلبه بر این محدودیتها و مشکلات، استفاده از مبدل‌هایی با بهره بالا و افزاینده مورد توجه قرار گرفته است. از جمله مبدل‌هایی که برای افزایش بهره به کار گرفته می‌شوند می‌توان مبدل‌های بوست [۱]، اینتر لیود [۲]، بوست سه سطحی [۳]، بوست سری [۴]، فلاپی بک [۵]، و سیکیک رانم پرس [۶] را نام برد.

مبدل‌های بوسٹ به طور معمول برای افزایش بهره به کار گرفته می‌شوند، ولی افزایش بهره در مبدل‌های بوسٹ منجر به کاهش بیش از حد بازده خواهد شد. همچنین نوع ایزوله مبدل بوسٹ، ساختار پیچیده‌ای دارد. مبدل‌های بوسٹ ایزوله مانند پوش پول و تمام پل نیز می‌توانند برای ساختارهای به منظور افزایش بهره به کار گرفته شوند، ولی این مبدل‌ها نیز به بهترین‌هایی با نسبت دور بالا برای افزایش بهره نیاز دارند که خود باعث افزایش سلف نشتی در ترانس گردیده و منجر به کاهش بازده و ضریب وظیفه مفید مدار خواهد شد. همچنین این مبدل‌ها به مدارات کنترل پیچیده نیاز دارند که خود یکی دیگر از معایب این ساختارها می‌باشد.

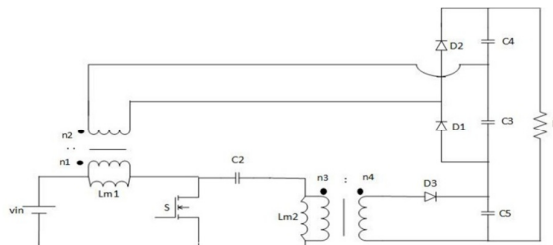
این مبدل‌ها ولتاژهای پایین  $dc$  را به ولتاژهای بالاتر با ریپل پایین تر تبدیل می‌نمایند. برای کاهش حجم و وزن این مبدل‌ها بایستی فرکانس عملکرد آنها افزایش یابد ولی افزایش فرکانس موجب افزایش تلفات کلیدزنی می‌گردد.

مبدل‌های سپیک و فلای بک انتخاب‌هایی مناسب برای استفاده در تکنیک‌های افایش، بده و یا ده بالا می‌باشند.

در این مقاله ابتدا مبدل پیشنهادی با سوئیچینگ سخت<sup>۱</sup> در بخش (۲) معرفی می‌شود و عملکرد آن توصیف شده سپس در بخش (۳) به صورت تئوری تحلیل می‌شود. سپس در بخش (۴) به توصیف مبدل با سوئیچینگ نرم پرداخته خواهد شد.

## ۲- مبدل پیشنهادی با سوئیچینگ سخت

این مبدل ترکیبی از مبدل‌های سپیک و فلای‌بک مطابق شکل (۱) می‌باشد.



شکا، (۱): مدل، بیشنها دی، یا سوئیچینگ سخت

Fig. (1): The proposed converter with hard switching

حال با نوشتن بالанс ولت - ثانیه‌ی دیگری برای سلف Lm1 رابطه  
(۷) را خواهیم داشت

$$vin DT = (v' - vin)(1 - D)T \quad (7)$$

که مقدار  $v'$  برابر خواهد شد با رابطه (۸):

$$v' = \frac{vin}{1-D} \quad (8)$$

از طرفی برای ولتاژ خازن C4 رابطه (۹) را داریم

$$vo3 = vc4 = (v' - vin) \frac{n^2}{n_1} \quad (9)$$

حال با جایگذاری رابطه (۳) در رابطه (۹) مقدار ولتاژ خازن C4 مطابق خواهد بود با رابطه (۱۰):

$$vo3 = vc4 = vin \left( \frac{D}{1-D} \right) \frac{n^2}{n_1} \quad (10)$$

### ۳-۱- بهره مبدل

رابطه کلی برای بهره این مبدل برابر رابطه (۱۱) است

$$\frac{vo}{vin} = \frac{vo_1 + vo_2 + vo_3}{vin} \quad (11)$$

که با جایگذاری روابط (۱۰) و (۶) و (۵) در رابطه (۱۱) برای بهره این مبدل رابطه (۱۲) را داریم:

$$\frac{vo}{vin} = \frac{n^4}{n_3} \left( \frac{D}{1-D} \right) + \frac{n^2}{n_1} \left( 1 + \frac{D}{1-D} \right) \quad (12)$$

### ۳-۲- محاسبه سلف LM1

حال با نوشتن رابطه (۱۳) برای سلف Lm1 خواهیم داشت:

$$vin = Lm1 \frac{\Delta Lm1}{DT} \quad (13)$$

که مقدار سلف Lm1 برابر خواهد شد با:

$$Lm1 = \frac{vin \cdot D}{\Delta Lm1 \cdot f} \quad (14)$$

حال برای به دست آوردن مقدار ریپل جریان سلف Lm1 باید pin = po باشد که ابتدا باید جریان شارژ خازنهای  $C_3$  و  $C_4$  به دست آورده شود که داریم:

$$Ic3 = \frac{Io}{D} \quad (15)$$

$$Ic4 = \frac{Io}{1-D} \quad (16)$$

حال بنا به رابطه pin = po رابطه (۱۷) را داریم:

$$vin \left( ILm1 + \frac{n^2}{n_1} \times \frac{Io}{D} \right) (1 - D) + \quad (17)$$

$$vin \left( ILm1 - \frac{n^2}{n_1} \times \frac{Io}{1-D} \right) (1 - D) = Vo Io \quad (17)$$

که از رابطه (۱۷) مقدار متوسط جریان سلف Lm1 برابر خواهد بود با:

$$ILm1 = \frac{Vo Io}{Vin} \quad (18)$$

در مرز CCM و DCM مقدار ریپل آن برابر رابطه (۱۹) است.

$$\Delta Lm1 = .2 \frac{Vo Io}{Vin} \quad (19)$$

### ۳-۳- محاسبه سلف LM2

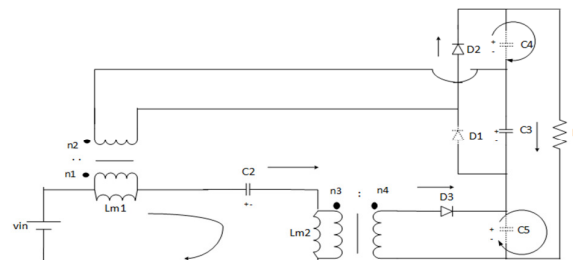
حال برای محاسبه سلف Lm2 رابطه (۲۰) را داریم که:

$$-vo \left( \frac{n^3}{n_4} \right) = lm2 \frac{\Delta lm2}{(1-D)T} \quad (20)$$

که از رابطه (۲۰) مقدار سلف Lm2 برابر (۲۱) خواهد بود.

$$lm2 = \frac{-vo \left( \frac{n^3}{n_4} \right) (1-D)}{\Delta lm2 \cdot f} \quad (21)$$

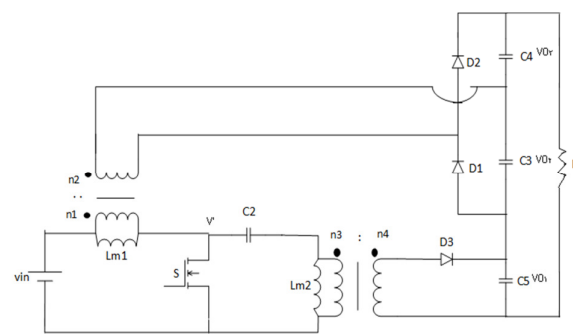
طریق دیود D3 باعث شارژ شدن خازن C5 شده و قسمتی دیگر به بار منتقل می‌شود. از طرفی خازن C4 هم توسط انژری Lm1 در حال شارژ شدن می‌باشد و دیود D2 نیز در بایاس مستقیم و دیود D1 در بایاس معکوس است. در این مد جریان بار توسط خازن C3 تامین می‌شود.



شکل (۳): مبدل پیشنهادی با سوئیچینگ سخت، سوییج خاموش  
Fig. (3): The proposed converter with hard switching, switch off

### ۳- تحلیل تئوری مبدل پیشنهادی

قبل از تحلیل مبدل ابتدا شکل (۴) را در نظر بگیرید.



شکل (۴): مبدل پیشنهادی با سوئیچینگ سخت برای تحلیل  
Fig. (3): The proposed converter with hard switching, for analysis

با نوشتن بالанс ولت - ثانیه‌ی برای سلف Lm1 رابطه (۱) را خواهیم داشت:

$$vin DT = \left( -vin + vc_2 + vo_1 \left( \frac{n^3}{n_4} \right) \right) (1 - D) T \quad (1)$$

همچنین برای سلف Lm2 نیز رابطه (۲)

$$Vc_2 DT = \left( vo_1 \left( \frac{n^3}{n_4} \right) \right) (1 - D) T \quad (2)$$

که از رابطه (۲) مقدار  $Vc_2$  برابر رابطه (۳) خواهد شد

$$Vc_2 = \left( vo_1 \left( \frac{n^3}{n_4} \right) \right) \left( \frac{1-D}{D} \right) \quad (3)$$

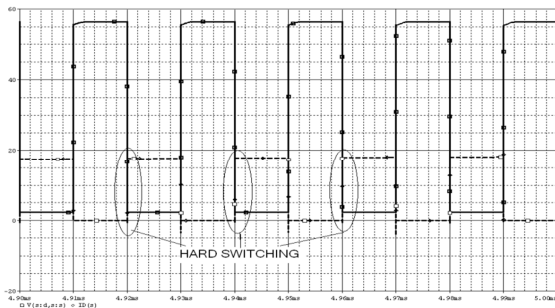
با جایگذاری رابطه (۳) در (۱) مقدار  $vo_1$  بر حسب  $vin$  برابر رابطه (۴) خواهد شد:

$$\frac{vo_1}{vin} = \frac{n^4}{n_3} \times \frac{D}{1-D} \quad (4)$$

که در واقع  $vo_1 = vc_5$  است.

از طرفی با روشن بودن کلید رابطه (۶) را برای ولتاژ خازن  $C_3$  داریم:

$$vo_2 = vc_3 = \frac{n^2}{n_1} vin \quad (5)$$

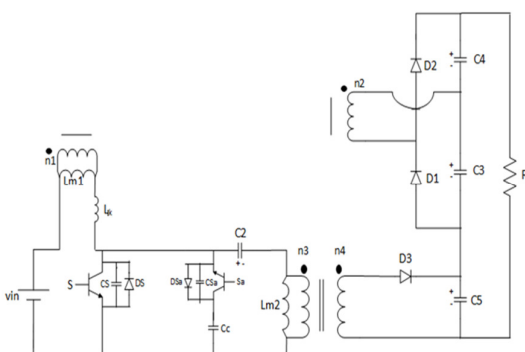


شکل (۵): شکل موج ولتاژ و جریان کلید در حالت کلید زنی سخت  
Fig. (5): The voltage and current of switch in hard switching mode

همپوشانی جریان و ولتاژ کلیدها در لحظه کلید زنی باعث ایجاد تلفات و در نتیجه کاهش بازده مبدل می‌شود. به همین منظور باید به وسیله تکنیک‌ها یا مدارات کمکی جریان و یا ولتاژ المان سوئیچینگ را در لحظه سوئیچینگ به صفر رساند. بنابراین در قسمت (۴) به ارایه این روش پرداخته می‌شود.

#### ۴- مبدل پیشنهادی با سوئیچینگ نرم

در این قسمت یک مدار کمکی به مبدل ارایه شده اضافه خواهد شد تا شرایط سوئیچینگ نرم<sup>۳</sup> حاصل شود. این مدار کمکی شامل، یک کلید کمکی  $S_a$ ، سلف رزونانس  $L_{lk}$  (که همان سلف نشستی ترانس است) و خازن  $C_c$  و یک خازن موازی با کلید اصلی  $C_s$  و یک خازن موازی با کلید کمکی  $C_{sa}$  به مبدل قبل اضافه شده است. این مدار کمکی باعث ایجاد ZVS در کلید اصلی در لحظه روشن شدن همچنین ZVS در زمان روشن شدن کلید مدار کمکی می‌شود. این امر تلفات موجود در کلیدها را کاهش داده و بازده مبدل را بالا می‌برد و یک سوئیچینگ نرم را ایجاد خواهد کرد.



شکل (۶): مبدل پیشنهادی با سوئیچینگ نرم  
Fig. (6): The proposed converter with soft switching

#### ۱-۴- عملکرد مبدل پیشنهادی

قبل از وضعیت اول فرض می‌شود که کلید اصلی  $S$  روشن و خازن  $C_3$  در حال شارژ و خازن‌های  $C_4, C_5$  در حال دشارژ شدن در بار هستند و دیود  $D_1$  در بایاس مستقیم و دیودهای  $D_3, D_2$  در بایاس معکوس هستند.

حال برای به دست آوردن مقدار ریپل جریان سلف  $Lm2$  باید رابطه بالا نوشت:  $C_2$  نوشته شود که داریم:

$$Ilm2 \cdot D = \left( \left( \frac{Io}{1-D} \cdot \frac{n^3}{n^4} \right) - Ilm2 \right) (1 - D) \quad (22)$$

$$\text{که مقدار متوسط جریان سلف } Lm2 \text{ برابر رابطه (23) خواهد شد:} \\ Ilm2 = Io \cdot \frac{n^3}{n^4} \quad (23)$$

$$\text{که برای ریپل جریان این سلف رابطه (24) را خواهیم داشت:} \\ \Delta Ilm2 = .2 \times Io \cdot \frac{n^3}{n^4} \quad (24)$$

#### ۳-۴- محاسبه مقادیر خازنها

$$\text{برای به دست آوردن مقدار خازن } C_5 \text{ رابطه (25) را داریم:} \\ q5 = c5 \Delta vc5 \quad (25)$$

$$\text{که از رابطه (25)، رابطه (26) به دست می‌آید:} \\ IoDT = c5 \Delta vc5 \quad (26)$$

$$\text{و مقدار خازن } C_5 \text{ برابر رابطه (27) خواهد شد:} \\ c5 = \frac{Io DT}{\Delta vc5} \quad (27)$$

$$\text{و مقارن ریپل ولتاژ خازن } C_5 \text{ برابر رابطه (28) می‌شود.} \\ \Delta vc5 = .01 vo1. \quad (28)$$

$$\text{برای خازن‌های } C_4 \text{ و } C_3 \text{ نیز مطابق روابط (25) تا (28) عمل می‌شود که:} \\ \text{مقدار خازن } C_4: \\ c4 = \frac{Io DT}{\Delta vc4} \quad (29)$$

$$\text{ریپل ولتاژ خازن } C_4: \\ \Delta vc4 = .01 vo3 \quad (30)$$

$$\text{مقدار خازن } C_3: \\ c3 = \frac{Io (1-D)T}{\Delta vc3} \quad (31)$$

$$\text{ریپل ولتاژ خازن } C_3: \\ \Delta vc3 = .01 vo2 \quad (32)$$

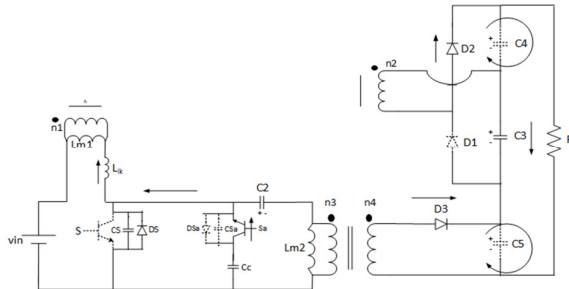
$$\text{برای محاسبه خازن } C_2 \text{ ابتدا رابطه (33) به صورت زیر بیان می‌شود:} \\ \Delta vc2 = \frac{1}{c2} \int_{DT}^T ilm1 \cdot dt. \quad (33)$$

$$\text{سپس با حل این انتگرال، رابطه (34) برای خازن } C_2 \text{ به دست می‌آید:} \\ c2 = \frac{(1-D)ilm1}{f \Delta vc2} \quad (34)$$

$$\text{و برای ریپل ولتاژ خازن } C_2 \text{ رابطه (35) به دست می‌آید.} \\ \Delta vc2 = .01 vo \quad (35)$$

در شکل (۵) شکل موج ولتاژ و جریان کلید در حال کلید زنی سخت

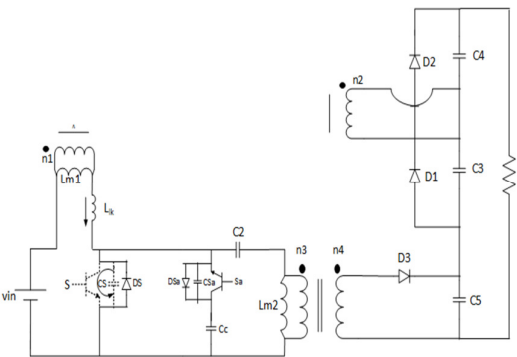
قابل مشاهده است.



شکل (۹): مبدل پیشنهادی با سوئیچینگ نرم در وضعیت سوم  
Fig. (9): The proposed converter with soft switching in stage three

#### ۱-۱-۴- وضعیت اول

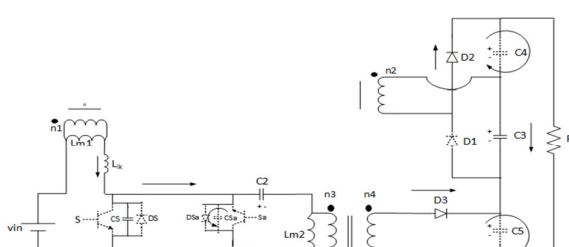
این وضعیت با خاموش شدن کلید اصلی  $S$  آغاز می‌گردد در این زمان از آنجایی که جریان سلف نشتی  $L_k$  نمی‌تواند به طور ناگهانی صفر شود در نتیجه خازن  $C_s$  کلید اصلی  $C_s$  را تا ولتاژ  $\frac{v_{in}}{1-D}$  شارژ و خازن  $C_s$  را دشاز می‌کند (خازن  $C_s$  و  $L_{lk}$  شروع به رزونانس می‌کنند) این وضعیت با دشارژ کامل خازن  $C_s$  به پایان می‌رسد.



شکل (۷): مبدل پیشنهادی با سوئیچینگ نرم در وضعیت اول  
Fig. (7): The proposed converter with soft switching in stage one

#### ۲-۱-۴- وضعیت دوم

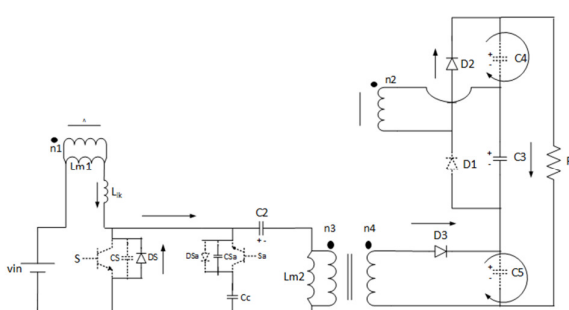
با صفر شدن ولتاژ خازن  $C_s$  جریان سلف نشتی می‌خواهد که ولتاژ آن را منفی کند که در این لحظه دیود بدنی کلید اصلی  $D_s$  روشن شده و جریان را هدایت می‌کند و خازن  $C_c$  شروع به شارژ شدن می‌کند تا ولتاژ حدود  $\frac{v_{in}}{1-D}$  و از این لحظه به بعد کلید اصلی می‌تواند تحت شرایط ZVS روشن شود. این وضعیت تا وقتی که جریان سلف نشتی صفر شود ادامه می‌یابد.



شکل (۱۰): مبدل پیشنهادی با سوئیچینگ نرم در وضعیت چهارم  
Fig. (10): The proposed converter with soft switching in stage four

#### ۳-۱-۴- وضعیت پنجم

با دشارژ کامل خازن  $C_s$  دیود بدنی  $D_s$  هدایت کرد و از این لحظه به بعد کلید اصلی می‌تواند تحت شرایط ZVS روشن شود.



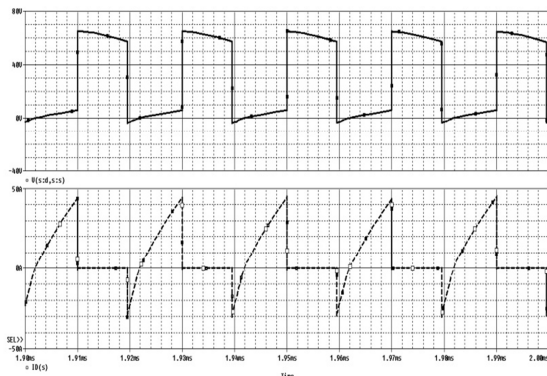
شکل (۱۱): مبدل پیشنهادی با سوئیچینگ نرم در وضعیت پنجم  
Fig. (11): The proposed converter with soft switching in stage five

#### ۳-۱-۴- وضعیت سوم

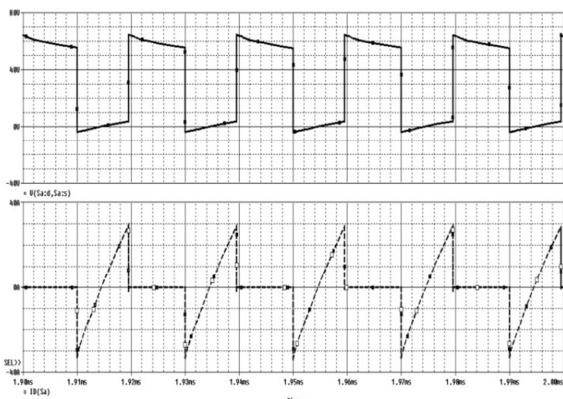
با تغییر جهت جریان سلف نشتی  $L_{lk}$  این وضعیت آغاز می‌گردد و در این حالت جریان از دیود بدنی کلید اصلی  $D_s$  به خود کلید  $S$  منتقل می‌شود، و خازن  $C_c$  دشاز می‌شود و کلید  $S$  تحت شرایط ZVS خاموش می‌شود و عملکرد مبدل پیشنهادی را در این وضعیت داریم.



شکل (۸): مبدل پیشنهادی با سوئیچینگ نرم در وضعیت دوم  
Fig. (8): The proposed converter with soft switching in stage two



شکل (۱۳): ولتاژ درین سورس و جریان کلید اصلی مبدل  
Fig. (13): D-S voltage and current of main switch



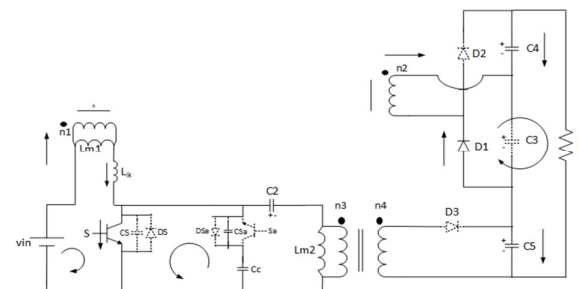
شکل (۱۴): ولتاژ درین سورس و جریان کلید کمکی مبدل  
Fig. (14): D-S voltage and current of auxiliary switches

#### ۶- نتایج عملی

پس از شبیه‌سازی مبدل، یک نمونه آزمایشگاهی از مبدل مذکور در توان ۱۶۰ وات ساخته شد و همان طور که از شکل‌ها مشخص است شکل موجهای عملی بسیار مشابه با شکل موجهای شبیه‌سازی می‌باشد، شکل (۱۵) شکل موجهای ولتاژ و جریان درین-سورس کلیدی را نشان می‌دهد. از آنجایی که جریان هنگام روشن شدن کلید منفی است بنابراین دیود بدن کلید روشن است و موجب می‌گردد که کلید در ولتاژ صفر روشن شود. شکل (۱۶) شکل موجهای جریان و ولتاژ کلید اصلی است. کلیدزنی ZVS در هنگام روشن شدن و خاموش شدن در شکل مشخص است.

#### ۶-۱-۴- وضعیت ششم

این وضعیت با تغییر جهت جریان سلف نشتی شروع می‌شود. در این وضعیت جریان از دیود بدن کلید اصلی DS به خود کلید اصلی S منتقل می‌شود. که با روشن شدن کلید اصلی در این وضعیت عملکرد مبدل پیشنهادی را داریم.



شکل (۱۲): مبدل پیشنهادی با سوئیچینگ نرم در وضعیت ششم  
Fig. (12): The proposed converter with soft switching in stage six

#### ۵- شبیه‌سازی با نرم افزار

در این قسمت مبدل ارائه شده با نرم افزار PSpice شبیه‌سازی شده است. ورودی این مدار یک منبع ولتاژ ۳۰ ولتی می‌باشد. مبدل در مد DCM عمل کرده که این امر به پایداری آن منجر می‌شود. در جدول (۱) مقادیر شبیه‌سازی آورده شده است.

Table (1): Simulated values in soft switching mode

جدول (۱): مقادیر شبیه‌سازی در حالت سوئیچینگ نرم

نام/ مقدار	پارامتر
IRF 640	کلیدهای مبدل
D <sub>break</sub>	D <sub>1</sub> -D <sub>2</sub> -D <sub>3</sub>
50 uF	C <sub>c</sub>
20 uF	C <sub>2</sub>
50 uF	C <sub>3</sub> , C <sub>4</sub> , C <sub>5</sub>
100 uH	سلف مغناطیس کنندگی T <sub>1</sub> (Trans)
10 uH	سلف مغناطیس کنندگی T <sub>2</sub> (Trans)
5 uH	L <sub>ik</sub> سلف نشتی
300 Ω	مقاومت خروجی
30 V	ولتاژ ورودی
160 W	توان خروجی
220 V	ولتاژ خروجی
100 KHz	فرکانس سوئیچینگ
1/4	n <sub>1</sub> /n <sub>2</sub>
1/3	n <sub>3</sub> /n <sub>4</sub>

### نتیجه گیری

مبدل‌های مورد استفاده در مبدل پیشنهادی سپیک ایزووله و فلای بک می‌باشند. از مزایای مبدل سپیک ایزووله می‌توان به مدار نسبتاً ساده، تعداد عناصر سوییچ شونده کم، دارا بودن ایزوولاسیون بین ورودی و خروجی اشاره کرد و هچنین از مزایای مبدل فلای بک هم می‌توان به گرفتن بیش از یک خروجی در یک تغذیه، بالا بردن بهره با نسبت ns/np وجود ایزوولاسیون خلیلی زیاد الکتریکی بین ورودی و خروجی، کاربرد مبدل هم در مبدل‌های dc/dc و هم در مبدل‌های ac/dc و اصلاح ضربیت توان<sup>۴</sup> اشاره کرد.

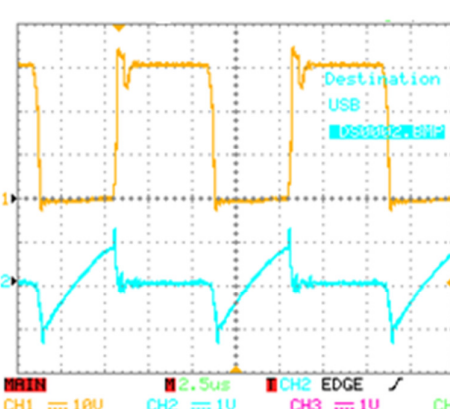
در این مقاله برای افزایش بهره از تکنیک ترکیب مبدلها استفاده شده است که در واقع مبدل پیشنهادی از مزایای دو مبدل این پژوهش بهره برده است. از دیگر مزایای مبدل ارایه شده استفاده از ساختاری برای داشتن<sup>۵</sup> ZVS در کلید اصلی و کمکی است که باعث کاهش تلفات کلید و افزایش بازده کلید اصلی می‌گردد. با توجه به موارد بالا مزایای مبدل ارایه شده را در موارد ذیل می‌توان خلاصه نمود.

- ۱- افزایش راندمان مبدل نسبت به مبدل سپیک و یا فلای بک معمولی به دلیل کاهش استرس و تلفات کلید زنی
- ۲- استفاده از ترانسفورمر با نسبت دور پایین
- ۳- کاهش تلفات کلید اصلی به علت داشتن مدار کمکی و سلف نشستی ZVS
- ۴- دارا بودن ساختار ساده با تعداد المانهای کم
- ۵- کاهش هزینه نهایی مدار

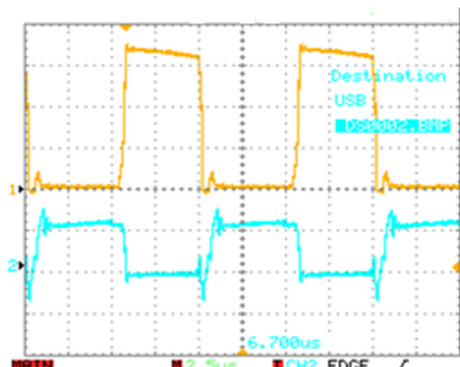
البته از معایب این مبدل می‌توان به ترانسهاهی این مدار اشاره کرد که جهش‌های ولتاژ را در مدار به وجود می‌آورد اما به کمک سلف Llk به مدار اضافه شد توانستیم از این عیوب بهترین استفاده را در جهت نرم کردن کلید زنی این مبدل داشت. از طرفی می‌توان بهره مبدل را با تغییر تعداد دور ترانس نیز افزایش داد.

### پی‌نوشت:

- 1- Hard switching
- 2- Soft switching
- 3- Zero voltage switching
- 4- Power factor correction
- 5- Zero voltage switching



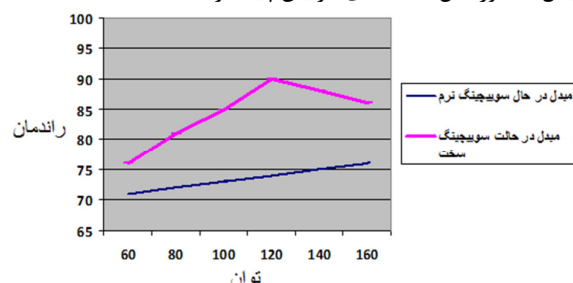
شکل (۱۵): ولتاژ درین سورس و جریان کلید کمکی مبدل آزمایشگاهی  
Fig. (15): Experimental converter D-S voltage and current of auxiliary switch  
(vertical scale 20V/div or 10A/div, time scale 2.5us/div)



شکل (۱۶): ولتاژ درین سورس و جریان کلید اصلی مبدل آزمایشگاهی  
Fig. (16): Experimental converter D-S voltage and current of main switch  
(vertical scale 20V/div or 10A/div, time scale 2.5us/div)

### ۷- راندمان مبدل

در این قسمت راندمان مبدل پیشنهادی بر حسب توان خروجی در دو حالت سوئیچینگ نرم و سوئیچینگ سخت مقایسه شده است و همانطور که ملاحظه می‌شود با استفاده از تکنیک پیشنهادی راندمان مبدل به طور قابل ملاحظه‌ای افزایش پیدا کرده است.



شکل (۱۷): راندمان مبدل پیشنهادی بر حسب توان  
Fig. (17): Efficiency of converter in terms of power

### References

- [1] D.J.S. Newlin, R. Tirunelveli, S. Rajasekaran, "A performance comparison of interleaved boost converter and conventional boost converter for renewable energy application", Proceeding of the IEEE/ICGHPC, Vol. 160, No. 4, pp.1-6, March 2013
- [2] V.I. Meleshin, D.V.Zhiklenkov, A.A. Ganshin, "Efficient three-level boost converter for various applications", Proceeding of the IEEE/EPEPEMC, Vol. 55, No.1, pp. 173-183, Novi Sad, Sep. 2012
- [3] B.R. Lin, H.H. Lu, "Single-phase three-level PWM rectifier", Proceeding of the IEEE/PEDS,Vol. 1, pp. 63-68, July 1999.
- [4] L. Huber, M.M. Jovanovic, "A design approach for server power supplies for networking", Proceeding of the IEEE/APEC, Vol. 2, pp.1163-1169, New Orleans, LA, Feb. 2000.
- [5] S. Dutta, D. Maiti, A.K. Sil, S.K. Biswas, "A soft-switched flyback converter with recovery of stored energy in leakage inductance", Proceeding of the IEEE/IICPE, pp.1-5, Delhi, Dec. 2012
- [6] K.C. Tseng, T.J. Liang, "Novel high-efficiency step-up converter", Proceeding of the IEEE/EPA,Vol. 151, No. 2, pp. 182–190, Mar.2004.